

Посвящается Я. П. Страдыню по случаю его 70-летия  
с глубоким уважением и искренней симпатией

Л. И. Беленький, В. З. Ширинян, Г. П. Громова, А. В. Колотаев,  
Ю. А. Стреленко, С. Н. Тандура, А. Н. Шумский, М. М. Краюшкин

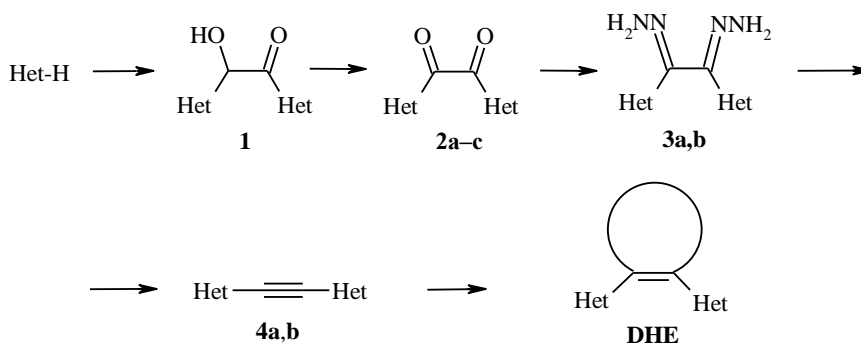
НОВЫЙ ПОДХОД К СИНТЕЗУ  
ДИТИЕНИЛЭТАНДИОНОВ И ДИТИЕНИЛАЦЕТИЛЕНОВ\*

С использованием модифицированного метода ацилирования тиофена и его гомологов в присутствии  $AlCl_3$  и пиридина синтезированы 1,2-дитиенилэтандионы. Бисгидразоны последних окислением кислородом воздуха в пиридине в присутствии  $CuCl$  превращены в дитиенилацетилены.

**Ключевые слова:** ацилирование по Фриделю–Крафтсу, дитиенилацетилены, 1,2-дитиенилэтандионы, оксалилхлорид, пиридин, тиофены, тиофениевые ионы, хлорид алюминия.

В связи с исследованиями путей синтеза фотохромных дитиенилэтанов с новыми этеновыми мостиками (см. обзор [4]) нами предложена стратегия, принципиальной особенностью которой является образование системы *цис*-дигетарилэтена (DHE) из дигетарилацетилена (схема 1). Схема включает получение теноинов **1**, их окисление в  $\alpha$ -дикетоны **2**, превращение дикетонов в озазоны **3** и окисление последних в ацетилены **4**.

Схема 1



**2–4 a** Het = 2,5-диметил-3-тиенил, **b** Het = 3,5-диметил-2-тиенил, **2c** Het = 5-метил-2-тиенил

\* Частично содержание данной статьи изложено в письме в редакцию [1] и тезисах [2, 3]. □

В настоящей статье излагаются результаты, относящиеся к синтезу дитиенилацетиленов типа **4**. Известное для получения диарилацетиленов окисление бисгидразонов соответствующих  $\alpha$ -дикетонов ранее в ряду тиофена не использовалось, а синтезы дитиенилацетиленов осуществлялись практически исключительно с помощью катализируемых соединениями палладия конденсаций галогентиофенов с ацетиленом и его производными (см., например, работы [5, 6]). Учитывая общую направленность исследования, в качестве модельного продукта был избран бис(2,5-диметил-3-тиенил)ацетилен (**4a**), а намеченный путь синтеза представлялся весьма рациональным, поскольку как конечные дитиенилацетилены **4**, так и промежуточные теноины **1** и  $\alpha$ -дикетоны **2** могли быть использованы в качестве потенциальных предшественников фотохромных дитиенилэтенов. Следует отметить при этом, что в ряду тиофена описаны некоторые примеры как бензоиновой конденсации, так и окисления теноинов в соответствующие  $\alpha$ -дикетоны (см., в частности, работу [7]).

Однако получить теноин **1a** ни из 2,5-диметилтиофен-3-карбальдегида в классических условиях бензоиновой конденсации (KCN в этаноле [8]), ни в условиях модифицированной реакции из соответствующего основания Шиффа (KCN в ДМСО [9]) нам не удалось. Продукты бензоиновой конденсации  $\beta$ -тиофенальдегидов обычно образуются с низкими выходами, а в рассматриваемом случае, возможно, эта реакция еще осложняется стерическими затруднениями из-за наличия в положении 2 гетероцикла метильной группы.\* Поэтому в дальнейшем мы сосредоточили свои усилия на синтезе дикетонов типа **2** ацилированием оксалилхлоридом гомологов тиофена – 2,5-диметилтиофена (**5a**), 2,4-диметилтиофена (**5b**) и 2-метилтиофена (**5c**).

Ацилирование диметилтиофена **5a** в стандартных условиях реакции Фриделя–Крафтса (в 1,2-дихлорэтаноле (ДХЭ) в присутствии  $AlCl_3$ ) приводило к дикетону **2a**, однако его выход не превышал 18%, причем наряду с побочными продуктами, строение которых в работе [1] установить не удалось, было возвращено 20–25% исходного диметилтиофена.

На наш взгляд, одной из причин низких выходов продуктов ацилирования является образование  $\sigma$ -комплекса типа А (схема 2). Как отмечалось в работе [13], при ацилировании активированных соединений ряда тиофена в присутствии  $AlCl_3$  образующийся в процессе реакции хлористый водород не выделяется из реакционной среды, а протонирует исходное соединение тиофена, образуя примерно эквимолярное продукту ацилирования количество  $\sigma$ -комплекса типа А. Последний при стандартной обработке реакционной смеси превращается в исходный тиофен.

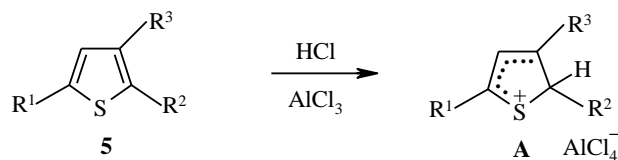
При использовании в качестве конденсирующего агента  $SnCl_4$ , возможно, из-за низкой устойчивости  $\sigma$ -комплекса реакция протекает до конца и возврата исходного тиофена не наблюдается [13, 14]. Однако

---

\* Следует отметить, что позднее в нашей лаборатории на основе схемы, включающей окисление метилкетона диоксидом селена и конденсацию образовавшегося кетоальдегида с тиофеновым соединением [10], был синтезирован теноин **1a**, а его окислением – дикетон **2a** [11]. Соединения **1a** и **2a** были превращены в ряд гетероциклов, несущих два соседних 2,5-диметил-3-тиенильных заместителя, причем некоторые из последних обладали фото-

хромными свойствами [11, 12].

Схема 2



**a** R<sup>1</sup> = R<sup>2</sup> = Me, R<sup>3</sup> = H, **b** R<sup>1</sup> = R<sup>3</sup> = Me, R<sup>2</sup> = H, **c** R<sup>1</sup> = Me, R<sup>2</sup> = R<sup>3</sup> = H

необходимо подчеркнуть, что в присутствии этого катализатора даже при высоких температурах (80–100 °С) соединения ряда тиофена не ацилируются хлорангидами, содержащими электрооакцепторные заместители, такими как хлорацетилхлорид [1, 15], оксалилхлорид [1], дихлорид квадратной кислоты [1], и исходный тиофен практически полностью возвращается. В таких случаях приходится применять более сильную кислоту Льюиса – AlCl<sub>3</sub>, что, к сожалению, одновременно способствует нежелательному образованию относительно устойчивого  $\sigma$ -комплекса типа **A** и снижает выход конечного продукта.

Ранее нами предложен модифицированный метод ацилирования соединений ряда тиофена в присутствии AlCl<sub>3</sub> и пиридина в качестве акцептора HCl, разрушающего упомянутый выше  $\sigma$ -комплекс, что создает возможность повышения выходов целевых продуктов [1]. В настоящей работе изучено влияние этих условий на ацилирование гомологов тиофена **5a–c** оксалилхлоридом и показано, что использование пиридина дает возможность подавить образование  $\sigma$ -комплексов **A** и повысить до 45–60% выходы  $\alpha$ -дикетонов **2a–c**. Состав и строение продуктов **2a–c** подтверждены данными элементного анализа и спектров ЯМР. Однако добавки пиридина не предотвращают образования побочных продуктов.

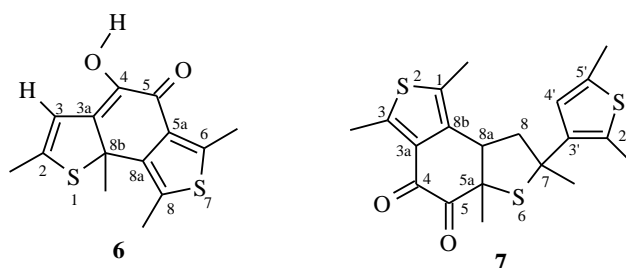
В случае диметилтиофена **5a** удалось выделить и идентифицировать два побочных продукта. Судя по результатам элементного анализа и данным спектров ЯМР, которые обсуждаются ниже, один из них (соединение **6**) является изомером целевого 1,2-бис(2,5-диметил-3-тиенил)этан-диона (**2a**), а другой (продукт **7**) получается из трех молекул соединения **5a** и одной молекулы оксалилхлорида.

Поскольку спектры ЯМР соединений **6** и **7** достаточно сложны, а вырастить кристаллы, пригодные для РСА не удалось, полное отнесение сигналов в спектрах ЯМР <sup>1</sup>H и <sup>13</sup>C сделано на основе совместного анализа всех одномерных и двумерных спектров, включая рассмотрение дальних ССВ <sup>1</sup>H – <sup>13</sup>C в спектрах НМБС и взаимодействий протонов через пространство в спектрах NOESY с применением двумерных гетерокорреляционных экспериментов.

В спектре ЯМР <sup>13</sup>C соединения **6** метильным заместителям соответствуют две группы сигналов: в интервале 13.4–18.0 (2-CH<sub>3</sub>, 6-CH<sub>3</sub>, 8-CH<sub>3</sub>) и при 36.9 м. д. (8b-CH<sub>3</sub>). Наличие корреляции в спектре NOESY

между группами 8-CH<sub>3</sub> и 8b-CH<sub>3</sub> свидетельствует об их сближенности, что согласуется с приведенной ниже структурой 4-гидрокси-2,6,8,8b-тетраметил-5,8b-дигидробензоди[2,1-*b*:3,4-*c*]тиофен-5-она (**6**). ИК спектр (в CHCl<sub>3</sub>) содержит полосы 3428 (OH) и 1612 см<sup>-1</sup> (C=O), положение которых не изменяется при разбавлении, что свидетельствует о наличии внутримолекулярной водородной связи O–H<sup>⋯</sup>O=C.

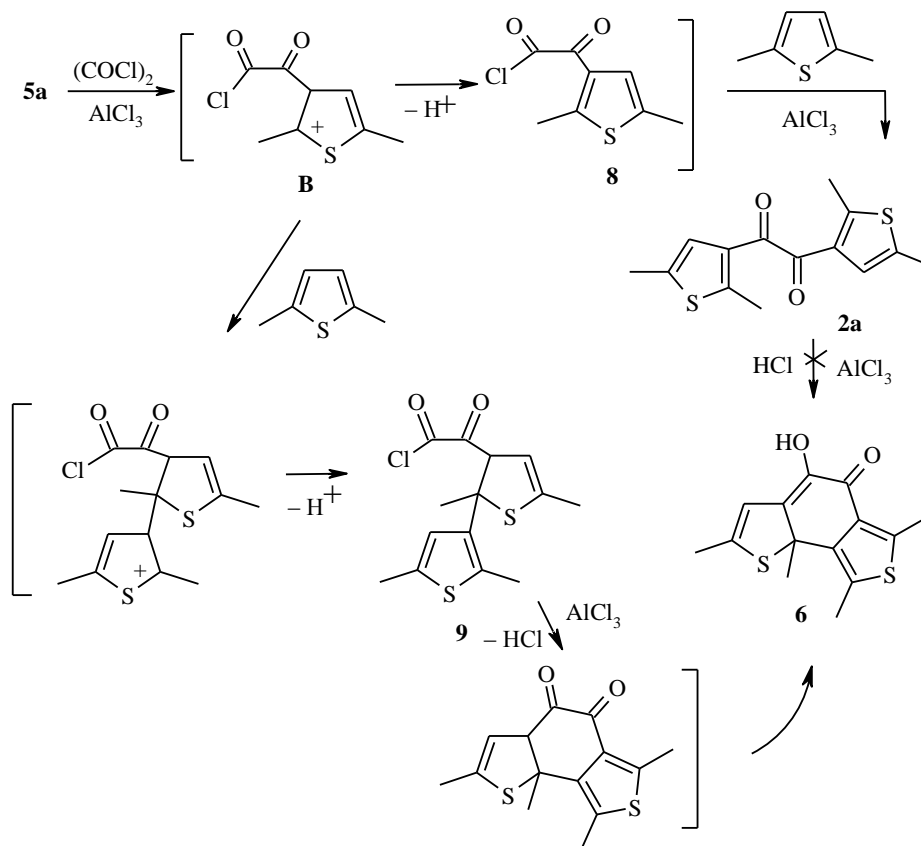
В спектре ЯМР <sup>1</sup>H соединения **7** имеются две группы сигналов метильных протонов: четыре синглета в области 2.3–2.8 м. д. (1-CH<sub>3</sub>, 3-CH<sub>3</sub>, 2'-CH<sub>3</sub>, 5'-CH<sub>3</sub>) и два практически полностью перекрывающихся синглета (5-CH<sub>3</sub> и 7-CH<sub>3</sub>) при 1.55 м. д., в спектре ЯМР <sup>13</sup>C наблюдаются четыре сигнала в области 12.7–15.9 и два при 24.6 и 31.5 м. д. Согласно этим данным четыре метильные группы связаны с гетероциклами, а две оставшиеся находятся в алифатической части молекулы. Три протона при 3.62, 3.01 и 2.01 м. д. образуют спиновую систему AMX: из данных спектров COSY и HSQC следует, что они находятся в положениях 8 (2H) и 8a (1H). Из-за перекрывания сигналов протонов групп 5a-CH<sub>3</sub> и 7-CH<sub>3</sub> оказалось невозможным определить их пространственное (*цис*- или *транс*-)расположение по отношению к протону 8a-Н. Приведенные данные согласуются со структурой 7-(2',5'-диметил-3'-тиенил)-1,3,5a,7-тетраметил-4,5,5a,7,8,8a-гексагидробензо[1,2-*c*:3,4-*b*]дитиофен-4,5-диона (**7**).



Вероятные пути образования соединений **2a**, **6** и **7** приведены на схемах 3 и 4. Атака активного комплекса оксалилхлорида с AlCl<sub>3</sub> может направляться в свободное β-положение или в замещенное метильной группой α-положение молекулы диметилтиофена **5a**, что приводит, соответственно, к σ-комплексам **B** (схема 3) и **C** (схема 4). Соединения **2a** и **6** образуются из тиофениевого иона **B**, а соединение **7** – из иона **C**.

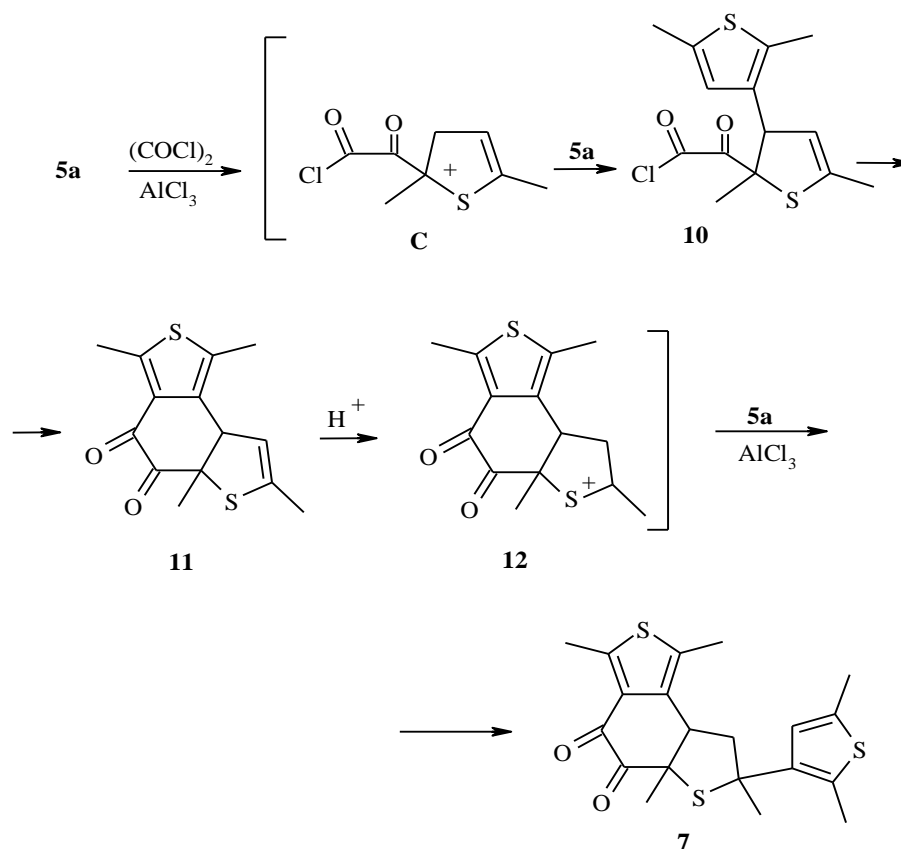
Из иона **B** при депротонировании получается хлорангидрид **8**, который далее ацилирует вторую молекулу диметилтиофена **5a** с образованием целевого продукта **2a**. При аномальном течении процесса ион **B** выступает в качестве алкилирующего агента, что приводит к хлорангидриду **9**, который циклизуется в соединение **6**. Отметим, что дикетон **2a** в присутствии AlCl<sub>3</sub> и HCl не превращается в его изомер **6** (схема 3).

Можно предположить, что при атаке положения 2 молекулы диметилтиофена **5a** образуется σ-комплекс **C**, реакция которого со второй молекулой диметилтиофена **5a** приводит к хлорангидриду **10**. Последний циклизуется в дикетон **11**, который подвергается протонированию в β-положение дигидротииофенового фрагмента и превращается в катионный реагент **12**,



"алкилирующий" диметилтиофен **5a** с образованием аномального продукта **7** (схема 4). При использовании более слабой кислоты Льюиса –  $\text{TiCl}_4$  – выходы дикетона и побочных продуктов **6** и **7** почти не изменяются.

В аналогичных условиях – в присутствии  $\text{AlCl}_3$  в дихлорэтано – ацилирование диметилтиофена **5b** сопровождалось значительным осмолением. Для подавления побочных процессов была сделана попытка уменьшить полярность растворителя, чтобы предотвратить образование  $\sigma$ -комплекса **A** и побочных продуктов, подобных соединениям **6** и **7**. Понижение полярности среды ведет к понижению энергии сольватации и потому – к росту активационных барьеров изучаемых реакций. При использовании смеси дихлорэтана и гептана выход соединения **2a** из диметилтиофена **5a** уменьшился, что можно объяснить конкурирующим ацилированием по положениям 2 и 3. Напротив, с диметилтиофеном **5b** из-за наличия свободного положения 2 гладко образуется только дикетон **2b**. Предложенная модификация ацилирования по реакции Фриделя–Крафтса сильными ацилирующими агентами, на примере дихлорида квадратной кислоты успешно использовалась в нашей лаборатории [16, 17].



Дитиенилэтандионы **2** далее превращаются в бисгидразоны **3**, причем реакция проходит в две стадии: в первой – образование моногидразона (без кислотного катализа – его исключительное образование), а во второй – превращение его в бисгидразон (озон), которое является более медленной реакцией по сравнению с первой. В случае бис(3,5-диметилтиен-2-ил)этан-1,2-диона (**2b**), по-видимому, из-за стерических затруднений вторая стадия проходит гораздо медленнее, чем для его изомера **2a** (за 50 ч против 11 ч в случае дикетона **2a**). Озоны **3** легко окисляются кислородом воздуха (по методике работы [18] используется кислород) в присутствии  $\text{CuCl}$  в пиридиновом растворе, превращаясь в соответствующие дитиенилацетилены **4**.

### ЭКСПЕРИМЕНТАЛЬНАЯ ЧАСТЬ

Спектры ЯМР  $^1\text{H}$  записывали на приборах Bruker AC-200, WM-250 и AM-300 в  $\text{CDCl}_3$  или в  $\text{DMSO-d}_6$  (в случае бисгидразонов **3a,b**) относительно сигнала растворителя, химические сдвиги даны в  $\delta$ -шкале относительно ТМС. При установлении структуры соединения **7** спектры ЯМР  $^1\text{H}$  и  $^{13}\text{C}$  регистрировали на приборе Bruker DRX-500 (500 и 125 МГц соответственно). Двумерные эксперименты HSQC, HMBC, NOESY проводили по стандартным методикам фирмы Bruker. Время смешивания в эксперименте NOESY составляло 1 с. ИК спектры соединения **6** получали на спектрометре Specord-80 для растворов в  $\text{CHCl}_3$  (концентрации ~100, 5 и 3 ммоль/л). Масс-спектры ЭУ регистрировали на приборе Kratos с прямым вводом образца в ионный источник, энергия ионизации 70 эВ.

Продукты ацилирования 2-метил- и 2,5-диметилтиофена разделяли хроматографией на колонке (диаметр 2, высота 30 см), заполненной ~80 мл силикагеля Merk (0.063 – 0.200 меш), элюент петролейный эфир (т. кип. 40–70 °С) – этилацетат, 20:1 (а), 15:1 (б), 10:1 (в). Температуры плавления определяли на столике Кофлера и не корректировали.

**Ацилирование 2-метилтиофена (5с).** К суспензии 3.34 г (25 ммоль)  $\text{AlCl}_3$  в 10 мл 1,2-ДХЭ при температуре около –20 °С последовательно прибавляют по каплям раствор 0.71 г (5.6 ммоль) оксалилхлорида в 5 мл ДХЭ, а также раствор 1.2 г (12.2 ммоль) 2-метилтиофена **5с** и 0.88 г (11 ммоль) пиридина в 5 мл ДХЭ. Смесь выдерживают 10 мин при –20 °С, далее поднимают за 20 мин температуру до 0 °С и выливают массу на лед. Продукты экстрагируют хлористым метилом, экстракт промывают водой до нейтральной реакции и сушат над  $\text{MgSO}_4$ . Остаток после отгонки растворителя (1.7 г масла с кристаллами) очищают колоночной хроматографией (элюент а) и получают 0.83 г (59.4%) **ди(5-метил-2-тиенил)этан-1,2-диола (2с)**. Т. пл. 80–82 °С. (т. пл. 86–87 °С [18]). Спектр ЯМР  $^1\text{H}$ ,  $\delta$ , м. д. ( $J$ , Гц): 2.60 (6H, с, 2  $\text{CH}_3$ ); 6.87 (2H, д,  $J \approx 4$ , 4'-H и 4''-H); 7.86 (2H, д,  $J \approx 4$ , 3-H и 3''-H).

**Ацилирование 2,5-диметилтиофена (5а).** А. К взвеси 1.19 г (8.9 ммоль)  $\text{AlCl}_3$  в 5 мл 1,2-ДХЭ при –20 °С добавляют 0.36 мл пиридина в 5 мл ДХЭ, затем 1 г (8.9 ммоль) диметилтиофена **5а** в 5 мл ДХЭ. К полученной смеси при той же температуре за 40 мин прибавляют по каплям 0.68 г (5.35 ммоль) оксалилхлорида в 5 мл ДХЭ. Температуру реакционной массы поднимают за 70 мин до 5 °С и выливают ее на лед. Органический слой отделяют, а водный – экстрагируют хлороформом. Объединенные органический слой и экстракт промывают водой, раствором соды, водой до нейтральной реакции и сушат над  $\text{MgSO}_4$ . После упаривания хлороформа получают 1.01 г вязкого масла, из которого колоночной хроматографией (элюент в) последовательно выделяют 0.56 г дикетона **2а** (выход на тиофен **5а** 47%), 0.09 г (7.5%) продукта **6**, 0.10 г (7.5%) соединения **7** и 0.28 г неидентифицированной смеси (остаток после упаривания последнего элюата).

**1,2-Бис(2,5-диметил-3-тиенил)этан-1,2-дион (2а).** Т. пл. 64.5–65.5 °С. Спектр ЯМР  $^1\text{H}$ ,  $\delta$ , м. д.: 2.38 (6H, с, 2  $\text{CH}_3$ ); 2.73 (6H, с, 2  $\text{CH}_3$ ); 6.92 (2H, с, 2  $\text{H}_{\text{Het}}$ ). Найдено, %: С 60.55; Н 5.20; S 22.71.  $\text{C}_{14}\text{H}_{14}\text{O}_2\text{S}_2$ . Вычислено, %: С 60.40; Н 5.07; S 23.03.

**4-Гидрокси-2,6,8,8b-тетраметил-5,8b-дигидробензо[2,1-b:3,4-c]дитиофен-5-он (6).** Т. пл. 123–124 °С. ИК спектр ( $\text{CHCl}_3$ ),  $\nu$ ,  $\text{cm}^{-1}$ : 3428 (ОН), 1612 (C=O). Спектр ЯМР  $^1\text{H}$ ,  $\delta$ , м. д.: 1.82 (3H, с, 8b- $\text{CH}_3$ ); 2.19 (3H, с, 2- $\text{CH}_3$ ); 2.43 (3H, с, 8- $\text{CH}_3$ ); 2.74 (3H, с, 6- $\text{CH}_3$ ); 6.31 (1H, с, 3-H); 6.85 (1H, с, ОН). Спектр ЯМР  $^{13}\text{C}$ ,  $\delta$ , м. д.: 13.43 (8- $\text{CH}_3$ ); 15.39 (6- $\text{CH}_3$ ); 18.02 (2- $\text{CH}_3$ ); 36.87 (8b- $\text{CH}_3$ ); 58.88 ( $\text{C}_{(8b)}$ ); 115.65 ( $\text{C}_{(3)}$ ); 127.61 ( $\text{C}_{(6)}$ ); 129.66 ( $\text{C}_{(8)}$ ); 138.82 ( $\text{C}_{(8a)}$ ); 140.33 ( $\text{C}_{(2)}$ ); 143.40 ( $\text{C}_{(3a)}$ ); 146.96 ( $\text{C}_{(5a)}$ ); 150.63 ( $\text{C}_{(4)}$ ); 177.71 (CO). Найдено, %: С 60.16; Н 5.02; S 22.21.  $[\text{M}]^+$  278.  $\text{C}_{14}\text{H}_{14}\text{O}_2\text{S}_2$ . Вычислено, %: С 60.40; Н 5.07; S 23.03. М 278.39.

**7-(2',5'-Диметил-3'-тиенил)-1,3,5а,7-тетраметил-4,5,5а,7,8,8а-гексагидробензо[1,2-c:3,4-b]дитиофен-4,5-дион (7).** Т. пл 160–162 °С (из бензола). Спектр ЯМР  $^1\text{H}$ ,  $\delta$ , м. д. ( $J$ , Гц): 1.55 (6H, с, 5а- $\text{CH}_3$  и 7- $\text{CH}_3$ ); 2.03 (1H, д, д,  $^2J = 13.4$ ,  $^3J_1 = 11.1$ , 8- $\text{H}_A$ ); 2.36 (3H, с, 5'- $\text{CH}_3$ ); 2.38 (3H, с, 1- $\text{CH}_3$ ); 2.42 (3H, с, 2'- $\text{CH}_3$ ); 2.75 (3H, с, 3- $\text{CH}_3$ ); 3.01 (1H, д, д,  $^2J = 13.4$ ,  $^3J_2 = 4.9$ , 8- $\text{H}_M$ ); 3.62 (1H, д, д,  $^3J_2 = 11.1$ ,  $^3J_1 = 4.9$ , 8а- $\text{H}_X$ ); 6.74 (1H, с, 4'-H). Спектр ЯМР  $^{13}\text{C}$ ,  $\delta$ , м. д.: 12.48 (1- $\text{CH}_3$ ); 14.88 (5'- $\text{CH}_3$ ); 15.15 (2'- $\text{CH}_3$ ); 15.59 (3- $\text{CH}_3$ ); 24.45 (5а- $\text{CH}_3$ ); 31.17 (7- $\text{CH}_3$ ); 50.12 ( $\text{C}_{(8)}$ ); 52.71 ( $\text{C}_{(8a)}$ ); 56.60 ( $\text{C}_{(7)}$ ); 65.43 ( $\text{C}_{(5a)}$ ); 124.82 ( $\text{C}_{(4)}$ ); 130.90 ( $\text{C}_{(1)}$ ); 131.22 ( $\text{C}_{(2)}$ ); 131.60 ( $\text{C}_{(3a)}$ ); 134.12 ( $\text{C}_{(5)}$ ); 134.60 ( $\text{C}_{(8b)}$ ); 142.10 ( $\text{C}_{(3)}$ ); 152.10 ( $\text{C}_{(3)}$ ); 177.40 ( $\text{C}_{(4)=\text{O}}$ ); 195.73 ( $\text{C}_{(5)=\text{O}}$ ). Найдено, %: С 61.52; Н 5.83; S 24.21.  $[\text{M}]^+$  390.  $\text{C}_{20}\text{H}_{22}\text{O}_2\text{S}_3$ . Вычислено, %: С 61.50; Н 5.68; S 24.63. М 390.59.

Б. К взвеси 1.19 г (8.9 ммоль)  $\text{AlCl}_3$  в 2 мл гептана при –20 °С прибавляют 1 г (8.9 ммоль) диметилтиофена **5а** в 2 мл гептана и далее по каплям (за 40 мин) 0.68 г (5.35 ммоль) оксалилхлорида в 5 мл гептана. Температуру поднимают за 10 мин до –10 °С, перемешивают при этой температуре 4 ч 42 мин и выдерживают реакционную смесь ~15 ч при –18 °С. Затем к реакционной массе добавляют 5 мл ДХЭ, смесь перемешивают 50 мин при –10 °С, поднимают температуру за 20 мин до –5 °С, перемешивают при этой температуре 40 мин, выдерживают смесь 3 ч 30 мин при –1 °С и ~15 ч при –18 °С, после чего выливают на лед, обрабатывают, как описано в методике А и получают 1.18 г вязкого масла, из которого колоночной хроматографией (элюент в) выделяют 0.35 г дикетона **2а** (выход на тиофен **5а** 30%), 0.39 г смеси продуктов, 0.20 г (15%) соединения **7** и 0.24 г остатка.

В. К перемешиваемому раствору 0.68 г (5.35 ммоль) оксалилхлорида и 1.69 г (8.9 ммоль)  $\text{TiCl}_4$  в 10 мл ДХЭ при температуре от  $-25$  до  $-30$  °С за 1 ч 12 мин прибавляют 1 г (8.9 ммоль) диметилтиофена **5a**. Реакционную смесь бордово-красного цвета перемешивают 1 ч 20 мин при  $-21$  до  $-23$  °С, далее за 10 мин поднимают температуру до  $-4$  °С, перемешивают при этой температуре 20 мин, выливают на лед, обрабатывают по методике А и получают 1.04 г темного масла, из которого колоночной хроматографией (элюенты последовательно а, б, в) выделяют 0.54 г diketона **2a** (выход на тиофен **5a** 47%), 0.03 г (2.5%) изомера **6**, 0.09 г смеси продуктов, 0.12 г (9%) соединения **7** и 0.26 г остатка.

**Ацилирование 2,4-диметилтиофена (5b).** К взвеси 3.32 г (24.9 ммоль)  $\text{AlCl}_3$  в 10 мл гептана при температуре от  $-20$  до  $-30$  °С последовательно прибавляют 1.40 г (12.48 ммоль) 2,4-диметилтиофена в 5 мл гептана, 10 мл ДХЭ и 0.95 г (7.49 ммоль) оксалилхлорида в 10 мл гептана; смесь перемешивают 2 ч 18 мин при  $-20$  °С, выливают на лед и обрабатывают по методике А. Остаток после упаривания хлороформа перекристаллизовывают из спирта и получают 0.77 г (44%) diketона **2b**, т. пл.  $150$ – $151$  °С. Спектр ЯМР  $^1\text{H}$ ,  $\delta$ , м. д.: 2.51 (6H, с, 5- и 5'- $\text{CH}_3$ ); 2.54 (6H, с, 3- и 3'- $\text{CH}_3$ ); 6.72 (2H, с, 4- и 4'-H). Спектр ЯМР  $^{13}\text{C}$ ,  $\delta$ , м. д.: 15.80 (5- и 5'- $\text{CH}_3$ ); 17.39 (3- и 3'- $\text{CH}_3$ ); 127.97 ( $\text{C}_{(5)}$ ); 131.35 ( $\text{C}_{(4)}$ ); 150.74 ( $\text{C}_{(2)}$ ); 151.82 ( $\text{C}_{(3)}$ ); 184.06 ( $\text{C}=\text{O}$ ). Найдено, %: С 60.38; Н 4.96; S 22.29.  $\text{C}_{14}\text{H}_{14}\text{O}_2\text{S}_2$ . Вычислено, %: С 60.40; Н 5.07; S 23.03.

**Бисгидразон 1,2-бис(2,5-диметил-3-тиенил)этандиона (3a).** К раствору 4.97 г (17.9 ммоль) diketона **2a** в 40 мл этанола последовательно прибавляют 8.94 г (179 ммоль) гидразингидрата и каталитическое количество TsOH. Полученную смесь кипятят 11 ч, затем выпавший осадок отфильтровывают, промывают холодной водой, высушивают на воздухе. Получают 3.33 г (60.8%) озазона **3a**, т. пл.  $202$ – $204$  °С. Спектр ЯМР  $^1\text{H}$ ,  $\delta$ , м. д.: 2.17 (6H, с, 5- и 5'- $\text{CH}_3$ ); 2.38 (6H, с, 2- и 2'- $\text{CH}_3$ ); 6.04 (4H, уш. с, 2  $\text{NH}_2$ ); 6.45 (2H, с, 4- и 4'-H). Спектр ЯМР  $^{13}\text{C}$ ,  $\delta$ , м. д.: 14.07 ( $\text{CH}_3$ ); 5.32 ( $\text{CH}_3$ ); 125.43 ( $\text{C}_{(4)}$ ); 128.43 ( $\text{C}_{(2)}$ ); 135.40 ( $\text{C}_{(3)}$ ); 137.49 ( $\text{C}_{(5)}$ ); 146.08 ( $\text{N}=\underline{\text{C}}-\underline{\text{C}}=\text{N}$ ). Найдено, %: С 55.01; Н 6.14; N 17.95; S 20.63.  $\text{C}_{14}\text{H}_{18}\text{N}_4\text{S}_2$ . Вычислено, %: С 54.87; Н 5.92; N 18.28; S 20.93.

**Бисгидразон 1,2-бис(3,5-диметил-2-тиенил)этандиона (3b).** К раствору 0.80 г (2.87 ммоль) diketона **2b** в 10 мл этанола последовательно прибавляют 1.15 г (23 ммоль) гидразингидрата и каталитическое количество TsOH, полученную смесь кипятят 30 ч, добавляют 0.51 г гидразингидрата и кипятят еще 20 ч. Выпавший после охлаждения осадок отфильтровывают, промывают холодной водой, высушивают на воздухе. Получают 0.49 г (55%) озазона **3b**. Т. пл.  $214$ – $216$  °С (из смеси спирт–бензол,  $\sim 1:1$ ). Спектр ЯМР  $^1\text{H}$ ,  $\delta$ , м. д.: 1.94 (6H, с, 5- и 5'- $\text{CH}_3$ ); 2.42 (6H, с, 3- и 3'- $\text{CH}_3$ ); 6.35 (4H, уш. с, 2  $\text{NH}_2$ ); 6.68 (2H, с, 4- и 4'-H). Спектр ЯМР  $^{13}\text{C}$  ( $\text{DMCO-d}_6$ ),  $\delta$ , м. д.: 13.59 (2  $\text{CH}_3$ ); 14.68 (2 Me); 126.18 ( $\text{C}_{(4)}$  и  $\text{C}_{(4)}$ ); 129.71 ( $\text{C}_{(3)}$  и  $\text{C}_{(3)}$ ); 133.41 ( $\text{C}_{(5)}$  и  $\text{C}_{(5)}$ ); 135.39 ( $\text{C}_{(2)}$  и  $\text{C}_{(2)}$ ); 142.90 ( $\text{N}=\underline{\text{C}}-\underline{\text{C}}=\text{N}$ ). Найдено, %: С 55.14; Н 6.13.  $\text{C}_{14}\text{H}_{18}\text{N}_4\text{S}_2$ . Вычислено, %: С 54.87; Н 5.92.

**1,2-Бис(2,5-диметил-3-тиенил)ацетилен (4a).** Через интенсивно перемешиваемую взвесь 2.15 г (21.7 ммоль) хлорида меди(I) в 20 мл безводного пиридина в течение 1 ч пропускают ток сухого воздуха, после чего прибавляют четырьмя порциями раствор 3.33 г (10.9 ммоль) бисгидразона **3a** в 35 мл сухого пиридина (каждую последующую порцию добавляют после перехода коричневой окраски реакционной массы в зеленую). Смесь перемешивают при комнатной температуре 2 ч, пропуская ток сухого воздуха, выдерживают при той же температуре 16 ч, после чего пиридин упаривают, к остатку добавляют 64 мл 2 н. раствора  $\text{HCl}$ , водный раствор экстрагируют эфиром ( $6 \times 5$  мл), экстракт последовательно промывают водой, насыщенными растворами  $\text{NaHCO}_3$  и  $\text{NaCl}$ , снова водой до нейтральной реакции, высушивают над  $\text{MgSO}_4$ . Остаток после упаривания (2.55 г) перекристаллизовывают из этанола и получают 2.16 г (80.7%) продукта **4a**. Т. пл.  $66$ – $67$  °С (из этанола). Спектр ЯМР  $^1\text{H}$ ,  $\delta$ , м. д.: 2.43 (6H, с, 2- и 2'- $\text{CH}_3$ ); 2.53 (6H, с, 5- и 5'- $\text{CH}_3$ ); 6.69 (2H, с, 4- и 4'-H). Спектр ЯМР  $^{13}\text{C}$ ,  $\delta$ , м. д.: 14.46 (2  $\text{CH}_3$ ); 15.22 (2  $\text{CH}_3$ ); 86.06 ( $\text{C}\equiv\text{C}$ ); 119.63 ( $\text{C}_{(2)}$  и  $\text{C}_{(2)}$ ); 127.21 ( $\text{C}_{(4)}$  и  $\text{C}_{(4)}$ ); 135.72 ( $\text{C}_{(5)}$  и  $\text{C}_{(5)}$ ); 140.55 ( $\text{C}_{(3)}$  и  $\text{C}_{(3)}$ ). Найдено, %: С 68.28; Н 5.86; S 25.32.  $[\text{M}]^+$  246.  $\text{C}_{14}\text{H}_{14}\text{S}_2$ . Вычислено, %: С 68.25; Н 5.73; S 26.03.  $M = 246.40$ .

**1,2-Бис(3,5-диметил-2-тиенил)ацетилен (4b)** получают аналогично соединению **4a** из 0.20 г бисгидразона **3b**. Выход продукта **4b** после перекристаллизации из этанола 86.6%. Т. пл.  $62$ – $64$  °С. Спектр ЯМР  $^1\text{H}$ ,  $\delta$ , м. д.: 2.28 (6H, с, 2- и 2'- $\text{CH}_3$ ); 2.44 (6H, с, 5- и 5'- $\text{CH}_3$ ); 6.53 (2H, с, 4- и 4'-H). Спектр ЯМР  $^{13}\text{C}$ ,  $\delta$ , м. д.: 15.15 (2  $\text{CH}_3$ ); 15.46 (2  $\text{CH}_3$ ); 87.66 ( $\text{C}\equiv\text{C}$ ); 116.34 ( $\text{C}_{(5)}$  и  $\text{C}_{(5)}$ ); 127.81 ( $\text{C}_{(4)}$  и  $\text{C}_{(4)}$ ); 140.45 ( $\text{C}_{(2)}$  и  $\text{C}_{(2)}$ ); 142.48 ( $\text{C}_{(3)}$  и  $\text{C}_{(3)}$ ). Найдено, %: С 67.78; Н 5.58; S 25.88.  $\text{C}_{14}\text{H}_{14}\text{S}_2$ . Вычислено, %: С 68.25; Н 5.73; S 26.03.

Работа выполнена при поддержке Российского фонда фундаментальных исследований (проекты № 01-03-33150, № 02-03-06216 и № 03-03-065).

#### СПИСОК ЛИТЕРАТУРЫ

1. В. З. Ширинян, Н. В. Костерина, А. В. Колотаев, Л. И. Беленький, М. М. Краюшкин, *ХГС*, 261, 431 (2000).
2. А. В. Колотаев, А. Н. Шумский, В. З. Ширинян, Л. И. Беленький, М. М. Краюшкин, *5-я Молодежная школа по органической химии*, Тез. докл., Екатеринбург, 2002, 244.
3. Л. И. Беленький, В. З. Ширинян, Г. П. Громова, А. В. Колотаев, М. М. Краюшкин, *13-я Международная конференция по химии соединений фосфора (ИССРС-ХIII). 4-й Международный симпозиум по химии и применению фосфор-, сера- и кремнийорганических соединений (ISPM-IV). Сб. науч. трудов*, Санкт-Петербург, 2002, 18.
4. М. М. Краюшкин, *ХГС*, 19 (2001).
5. M. Pal, N. G. Kundu, *J. Chem. Soc., Perkin Trans. 1*, 449 (1996).
6. E. S. Ng, I. Novak, L. Wang, H. H. Huang, W. Huang, *Tetrahedron*, **53**, 13339 (1997).
7. R. D. Schuetz, G. P. Nilles, *J. Org. Chem.*, **36**, 2486 (1971).
8. В. Айд, И. С. Бак, *Органические реакции*, сб. 4, Изд-во иностр. лит., Москва, 1951, 229.
9. J. S. Walia, L. Gallot, J. Sigh, M. S. Chattha, M. Sayanarayana, *J. Org. Chem.*, **37**, 135 (1972).
10. K. Uchida, G. Masuda, Y. Aoi, K. Nakayama, M. Irie, *Chem. Lett.*, 1071 (1999).
11. С. Н. Иванов, Б. В. Личицкий, А. А. Дудинов, А. Ю. Мартынкин, М. М. Краюшкин, *ХГС*, 89 (2001).
12. М. М. Краюшкин, С. Н. Иванов, А. Ю. Мартынкин, Б. В. Личицкий, А. А. Дудинов, Б. М. Ужинов, *Изв. АН, Сер. хим.*, 2315 (2001).
13. Л. И. Беленький, А. П. Якубов, Я. Л. Гольдфарб, *ЖОрХ*, **11**, 424 (1975).
14. Я. Л. Гольдфарб, В. П. Литвинов, В. И. Шведов, *ЖОХ*, **30**, 534 (1960).
15. Я. Л. Гольдфарб, А. П. Якубов, Л. И. Беленький, *ЖОрХ*, **6**, 2518 (1970).
16. М. М. Краюшкин, В. З. Ширинян, Л. И. Беленький, А. Ю. Шадронов, Л. Г. Воронцова, З. А. Старикова, *Изв. АН, Сер. хим.*, 1392 (2002).
17. М. М. Краюшкин, В. З. Ширинян, Л. И. Беленький, А. Ю. Шадронов, *Изв. АН, Сер. хим.*, 1396 (2002).
18. J. Tsuji, H. Takahashi, T. Kajimoto, *Tetrahedron Lett.*, 4573 (1973).

Институт органической химии  
им. Н. Д. Зелинского РАН, Москва 119991  
e-mail: libel@ioc.ac.ru

Поступило в редакцию 25.06.2003